

# 스트림 암호 Grain-v1에 대한 연관키 공격\*

이 유 섭<sup>1†</sup>, 정 기 태<sup>1</sup>, 성 재 철<sup>2</sup>, 홍 석 희<sup>1‡</sup>  
<sup>1</sup>고려대학교 정보보호기술 연구센터, <sup>2</sup>서울시립대 수학과

## The Related-Key Attack on Grain-v1\*

Yuseop Lee<sup>1†</sup>, Kitae Jung<sup>1</sup>, Jaechul Sung<sup>2</sup>, Seokhie Hong<sup>1‡</sup>

<sup>1</sup>Center for Information Security Technologies, Korea University,

<sup>2</sup>Department of Mathematics, University of Seoul

### 요 약

Kücük은 eSTREAM 프로젝트에 제안된 스트림 암호인 Grain-v1에 대하여, 공격자에게 키스트림 수열이 주어지면 이를 1-비트 좌측 이동시킨 키스트림 수열을 생성할 수 있음을 보였다[5]. 본 논문에서는 [5]에서 제안된 공격을 확장하여 연관 키 선택 IV 공격을 제안한다. 본 공격은 Grain-v1의 초기화 과정의 취약점을 이용하여 비밀키의 부분 정보를 획득하여  $2^{25.02}$ 개의 IV와  $2^{56}$ 의 시간 복잡도로 Grain-v1의 비밀키를 복구한다. 본 공격은 Grain-v1에 대한 첫 번째 키 복구 공격이다.

### ABSTRACT

The slide resynchronization attack on Grain-v1 was proposed in [5]. Given the keystream sequence, this attack can generate the 1-bit shifted keystream sequence generated by Grain-v1. In this paper, extending the attack proposed in [5], we propose the key recovery attack on Grain-v1 using the related-key. Using the weakness of the initialization procedure of Grain-v1, this attack recover the master key with  $2^{25.02}$  IVs and  $2^{56}$  time complexity. This attack is the first known key recovery attack on Grain-v1.

**Keywords** : Stream cipher, Grain-v1, Related-key attack, Cryptanalysis

## 1. 서 론

Grain[2]은 유럽에서 진행 중인 eSTREAM 프로젝트에 제안된 하드웨어 기반 스트림 암호로 LFSR과 NFSR 그리고 부울 함수  $h$ 로 구성된 단순한 구조로 설

계되었다. Grain의 초기 버전에 대해서는 구별 공격[4]과 키 복구 공격[1]이 각각 제안되어 알고리즘의 취약점이 노출되었다. 이 후 Grain의 설계자들은 이런 취약점을 보완한 버전인 Grain-v1[3]을 제안하였다. 현재 Grain-v1은 Phase 3에 선정되어 안전성을 평가 받고 있으며 단순한 구조로 설계되었으면서도 충분한 안전성을 가지는 것으로 드러나 Phase 3에 선정된 다른 하드웨어 기반 스트림 암호들보다 많은 주목을 받고 있다. Grain-v1에 대한 분석 결과로는 Küçük이 제안한 Slide Resynchronization 공격[5]이 유일하다.

[5]에서 제안된 공격은 Resynchronization 공격의 일종으로 공격자에게 키스트림 수열이 주어지면, 이를 1-

접수일 : 2008년 1월 22일; 수정일 : 2008년 4월 20일;

채택일 : 2008년 5월 22일

\* 본 연구는 지식경제부 및 정보통신연구진흥원의 대학 IT연구센터 지원사업의 연구결과로 수행되었음 (IITA-2008-(C1090-0801-0025))

† 주저자, yusubi@cist.korea.ac.kr

‡ 교신저자, hsh@cist.korea.ac.kr

비트 좌측 이동시킨 키스트림 수열을 생성할 수 있음을 보였다. 본 논문에서는 이 공격을 확장하여 Grain-v1에 대한 연관키 선택 IV 공격을 제안한다. 본 공격은 Grain-v1에 대한 첫 번째 키 복구 공격으로 2개의 좌측 순환 이동된 연관키를 사용할 때 발생하는 다음과 같은 취약점을 이용한다. 첫째, Grain-v1의 초기화 과정에서 a-비트 좌측 순환 이동된 연관키에 대해 생성되는 내부 상태값이 동일해지는 연관된 IV 쌍이 존재하고, 이 때 만족해야 하는 내부 상태값에 대한 식이 존재한다. 또한, 초기화 과정에서 비밀키와 IV가 각각의 레지스터에 직접 입력되기 때문에 내부 상태값에 대한 식은 비밀키와 IV에 대한 식으로 변형된다. 둘째, 5-변수 부울 함수 h는 2개의 입력값을 고정하여 2-변수 선형 함수로 변형되어 1개의 변수를 제외시킬 수 있다. 이런 취약점을 이용하여 a-비트 비밀키를 복구하고, IV와 비밀키에 대한 a개의 선형 방정식을 구성하여 a-비트 비밀키 정보를 추가로 얻는다. 이를 이용하여 키 전소사의 시간 복잡도를  $2^{80-2a}$ 로 낮춘다( $a=1,2,\dots,12$ ). 따라서 최소  $2^{56}$ 의 시간 복잡도로 비밀키를 복구한다.

본 논문은 다음과 같이 구성되어 있다. 2장에서 Grain-v1과 [5]에서 제안된 공격을 간략히 소개한다. 3장에서 Grain-v1이 가지는 특성을 분석하고 이를 이용한 키 복구 공격을 제안한다. 마지막으로 4장에서 결론을 맺는다.

II. 기본 이론

본 장에서는 Grain-v1과 [5]에서 제안된 공격을 소개한다. 본 논문에서는 다음과 같은 표기를 사용한다.

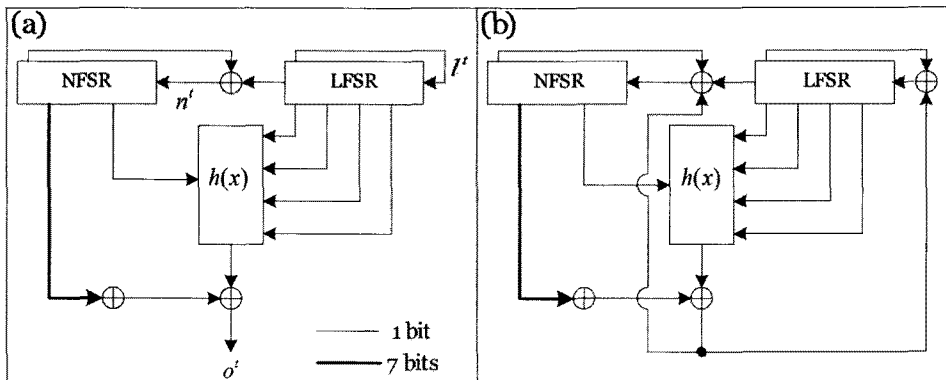
- $S^t = (S_0^t, S_1^t, \dots, S_{160}^t)$  : 시간 t일 때, 전체 내부 상태값.
- $N^t = (N_0^t, N_1^t, \dots, N_{79}^t)$  : 시간 t일 때, NFSR의 내부 상태값.
- $L^t = (L_0^t, L_1^t, \dots, L_{79}^t)$  : 시간 t일 때, LFSR의 내부 상태값.
- $n^t$  : 시간 t일 때, NFSR의 갱신 비트.
- $l^t$  : 시간 t일 때, LFSR의 갱신 비트.
- $o^t$  : 시간 t일 때, Grain-v1의 출력 비트.
- $z = (z_0, z_1, \dots)$  : 키스트림 수열 ( $z_t = o^{t+160}$ ).
- $z[a]$  : 키스트림 수열 z를 a 비트 좌측 이동시킨 수열. 즉,  $z[a] = (z_a, z_{a+1}, \dots)$ .

2.1 Grain-v1

Grain-v1은 80-비트 비밀키  $K=(k_0, \dots, k_{79})$ 와 64-비트 IV= $(iv_0, \dots, iv_{63})$ 를 사용하는 스트림 암호로서 전체 구조는 [그림 1]과 같이 LFSR, NFSR, 부울 함수  $h(x)$ 로 구성된다. Grain-v1에 사용되는 NFSR과 LFSR은 각각 80-비트 내부 상태값을 갖는다. LFSR과 NFSR의 갱신 비트  $l^t, n^t$ 는 각각 다음과 같다.

$$\begin{aligned}
 n^t &= L_0^t \oplus N_{62}^t \oplus N_{60}^t \oplus N_{52}^t \oplus N_{45}^t \oplus N_{37}^t \oplus N_{33}^t \\
 &\oplus N_{28}^t \oplus N_{21}^t \oplus N_{14}^t \oplus N_9^t \oplus N_0^t \oplus N_{63}^t \oplus N_{60}^t \\
 &\oplus N_{37}^t \oplus N_{33}^t \oplus N_{15}^t \oplus N_9^t \oplus N_{60}^t \oplus N_{52}^t \oplus N_{45}^t \oplus N_{33}^t \oplus N_{28}^t \oplus N_{21}^t \\
 &\oplus N_{63}^t \oplus N_{45}^t \oplus N_{28}^t \oplus N_9^t \oplus N_{60}^t \oplus N_{52}^t \oplus N_{37}^t \oplus N_{33}^t \\
 &\oplus N_{63}^t \oplus N_{60}^t \oplus N_{21}^t \oplus N_{15}^t \oplus N_{63}^t \oplus N_{60}^t \oplus N_{52}^t \oplus N_{45}^t \oplus N_{37}^t \\
 &\oplus N_{33}^t \oplus N_{28}^t \oplus N_{21}^t \oplus N_{15}^t \oplus N_9^t \oplus N_{52}^t \oplus N_{45}^t \oplus N_{37}^t \oplus N_{33}^t \oplus N_{28}^t \oplus N_{21}^t.
 \end{aligned}$$

$$l^t = L_{62}^t \oplus L_{51}^t \oplus L_{38}^t \oplus L_{23}^t \oplus L_{13}^t \oplus L_0^t.$$



(그림 1) (a) Grain-v1 키스트림 생성 과정

(b) Grain-v1 초기화 과정

부울 함수  $h(x)$ 는 LFSR의 4-비트 내부 상태값과 NFSR의 1-비트 내부 상태값을 입력 받는 함수로 다음과 같다.

$$h(L_3^t, L_{25}^t, L_{46}^t, L_{64}^t, N_{63}^t) = L_{25}^t \oplus N_{63}^t \oplus L_3^t L_{64}^t \oplus L_{46}^t L_{64}^t \oplus L_{64}^t N_{63}^t \oplus L_3^t L_{25}^t L_{46}^t \oplus L_3^t L_{46}^t L_{64}^t \oplus L_3^t L_{64}^t N_{63}^t \oplus L_{25}^t L_{46}^t N_{63}^t \oplus L_{46}^t L_{64}^t N_{63}^t.$$

출력 비트  $o^t$ 는 다음과 같이 생성된다. 여기서  $A = \{1, 2, 4, 10, 31, 43, 56\}$ 이다.

$$o^t = \sum_{k \in A} N_k^t \oplus h(L_3^t, L_{25}^t, L_{46}^t, L_{64}^t, N_{63}^t).$$

Grain-v1의 초기화 과정은 다음과 같다 ([그림 1-(b)] 참조).

- ① NFSR의 초기 상태값에 비밀키  $K$ 를 로딩한다.  
 $N_i^0 = k_i (0 \leq i \leq 79)$ .
- ② LFSR의 초기 상태값에  $IV$ 를 로딩한다.  

$$\begin{cases} L_i^0 = iw_i (0 \leq i \leq 63) \\ L_i^0 = 1 (64 \leq i \leq 79) \end{cases}$$
- ③ 160번의 공회전을 수행한다. 공회전을 수행하는 동안의 출력 비트  $o^t$ 는 키스트림 비트로 출력되지 않고, LFSR과 NFSR의 갱신비트에 각각 XOR된다.

## 2.2 Küçük의 Slide Resynchronization 공격

Küçük의 Resynchronization 공격은 초기화 과정의 특성을 이용하여  $(K, IV)$ 에 의해 생성된 키스트림 수열을 1-비트 좌측 이동시킨 키스트림 수열을 생성하는  $(\tilde{K}, \tilde{IV}) = (\tilde{k}_0, \dots, \tilde{k}_{79}, \tilde{iw}_0, \dots, \tilde{iw}_{63})$ 쌍이  $2^2$ 의 확률로 존재함을 보인다. 이 공격은 다음 두 가지 사실을 이용한다.

- ① 1 클럭에 갱신되는 비트 수는 2이다.
- ② 초기화 과정은 키스트림 생성 과정과 매우 유사하다.

시간  $t$ 에서  $(K, IV)$ ,  $(\tilde{K}, \tilde{IV})$ 에 의해 생성되는 내부 상태값을 각각  $S^t, \tilde{S}^t$ 라 할 때,  $S^t = \tilde{S}^0$ 을 만족하면  $S^{t+1} = \tilde{S}^t (t=0, \dots, 159)$ 이 성립한다. 이후  $S_{161}$ 은 키 생성 과정에서의 갱신 함수에 의해 갱신되는 반면,  $\tilde{S}^{160}$ 은 초기화 과정에서의 갱신 함수를 이용하여 갱신된다. 따라서  $S_{160}$ 에서 생성된 키스트림 비트  $z_0 = 0$ 이면,  $S^{161} = \tilde{S}^{160}$ 이고  $z_{t+1} = \tilde{z}_t (t=0, 1, \dots)$ 이다. 한편,  $S^t = \tilde{S}^0$

을 만족하는  $\tilde{S}^0$ 이 존재하기 위해서는  $l^0 = 1$ 을 만족해야 한다. 그러므로  $l^0 = 1$ 과  $z_0 = 0$ 을 만족하는  $IV$ 가 존재하는 확률이 이 공격의 성공 확률이다. 여기서  $l^0$ 와  $z_0$ 가 랜덤한 분포를 따른다고 가정하면,  $(K, IV)$ 에 의해 생성된 키스트림 수열을 한 비트 좌측 이동시킨 키스트림 수열을 생성하는  $(\tilde{K}, \tilde{IV})$ 가 존재할 확률은  $2^{-2}$ 이다.

## III. Grain-v1에 대한 키 복구 공격

본 장에서는 [5]에서 제안된 공격을 확장하여 Grain-v1에 대한 연관키 선택  $IV$  공격을 제안한다. 이 공격은 2개의 연관키를 이용하여 최소  $2^{56}$ 의 시간 복잡도로 64-비트 비밀키를 복구할 수 있다.

### 3.1 Grain-v1의 초기화 과정 분석

Küçük은 1-비트 좌측 순환 이동시킨 연관키에 대해 초기화 과정에서  $S^1 = \tilde{S}^0$ 을 만족하여 1-비트 좌측 이동된 키스트림 수열이 생성되는  $IV$ 와  $\tilde{IV}$ 가 높은 확률로 존재함을 보였다. 본 절에서는 이를 확장하여  $a$ -비트 좌측 순환된 연관키를 사용할 때 키스트림 수열의 처음 16 비트에 발생하는 특성을 분석한다. 본 논문에서 사용하는 연관키  $\tilde{K}$ 와 연관  $\tilde{IV}$ 는 다음과 같다. 여기서,  $a$ 는 1이상이고 12이하인 정수이다.

$$\begin{aligned} K &= (k_0, k_1, \dots, k_{79}) \Rightarrow \tilde{K} = (k_a, k_{a+1}, \dots, k_{a-1}). \\ IV &= (iw_0, iw_1, \dots, iw_{63}) \\ \Rightarrow \tilde{IV} &= (iw_a, iw_{a+1}, \dots, iw_{63}, 1, \dots, 1). \end{aligned}$$

$(K, IV)$ 와  $(\tilde{K}, \tilde{IV})$ 에 의한 내부 상태값을 각각  $S$ 와  $\tilde{S}$ 로 표기하고, 이 때 생성되는 키스트림 수열을 각각  $z$ 와  $\tilde{z}$ 으로 표기한다. 두 내부 상태값  $S$ 와  $\tilde{S}$ 는 다음과 같은 특성을 가진다. 전개상의 편의를 위하여  $(iw_{64}, \dots, iw_{79}) = (1, \dots, 1)$ 을 가정한다.

**[특성 1]**  $a \leq i \leq 160$ 인  $i$ 에 대하여  $S^i = \tilde{S}^0$ 이면,  $S^i = \tilde{S}^{i-a}$ 이다. 다시 말해  $o^i$ 와  $\tilde{o}^{i-a}$ 가 동일하다.

증명) Grain-v1의 초기화 과정에서 160번의 공회전을 수행하므로 이 특성이 성립한다.

비밀키  $K$ 에 대해  $S^a = \tilde{S}^0$ 를 만족하는  $IV$ 를 유효한  $IV$ 로 정의한다. 유효한  $IV$ 는 다음과 같은 특성을 가진다.

[특성 2] 유효한  $IV$ 는 다음 식 (1)과 식 (2)를 만족한다.

$$\begin{aligned} n^i \oplus o^i &= \tilde{S}_{80-a+i}^0 \\ \Leftrightarrow n^i \oplus o^i &= k_{80-a+i} = k_i \quad (0 \leq i < a) \end{aligned} \quad (1)$$

$$l^i \oplus o^i = 1. \quad (2)$$

[특성 2]는 Grain-v1의 초기화 과정에 갱신되는 비트  $n^i$ ,  $l^i$ ,  $o^i$ 에 대한 식에 의해 알 수 있다. 여기서 식 (2)는 비밀키에 관한 선형식이기 때문에 유효한  $IV$ 가 주어지면 이를 식 (2)에 대입하여  $a$  개의 비밀키에 관한 선형식을 구성할 수 있다. 다음 [정리 1]은 유효한  $IV$ 를 키스트림 수열을 비교하여 추측할 수 있음을 보인다.

[정리 1]  $z$ 의 처음  $b$  비트가 0일 때,  $S^a = \tilde{S}^0$ 이면  $z_{a+i} = \tilde{z}_i$  ( $0 \leq i < 16-a+b$ )이다. 그리고 두 키스트림 수열  $z$ 와  $\tilde{z}$ 이  $z_{a+i} = \tilde{z}_i$  ( $0 \leq i < 16-a+b$ )을 만족하는 경우를  $z \sim_a \tilde{z}$ 로 표시할 때,  $z \sim_a \tilde{z}$ 이지만 유효한  $IV$ 가 아닐 확률은 다음과 같이  $2^{-(16-a+b)}$ 이고, 평균  $2^{-(18-a)}$ 이다.

증명)  $S^a = \tilde{S}^0$ 이면 [특성 1]에 의해  $S^{160} = \tilde{S}^{160-a}$ 이다.  $z_t = 0$  ( $0 \leq t < b$ )이면 키스트림 생성 과정과 초기화 과정의 갱신 방법이 동일하므로  $S^{160+b} = \tilde{S}^{160-a+b}$ 이다. 이 후  $(a-b)$ 번 클럭된 두 내부 상태값  $S^{160+a}$ 와  $\tilde{S}^{160}$ 은 각각의 LFSR과 NFSR에서 마지막으로 갱신된  $(a-b)$ 비트를 제외한 나머지 부분은 동일하다. 즉,  $N_i^{160+a} = \tilde{N}_i^{160}$ ,  $L_i^{160+a} = \tilde{L}_i^{160}$  ( $0 \leq i < 80-a+b$ )이다. 서로 다른  $2(a-b)$ 비트가 키스트림 생성 과정에서 사용되기 전까지 동일한  $(16-a+b)$ -비트 키스트림 수열이 생성된다.  $z$ 와  $\tilde{z}$ 의 키스트림 비트가 통계적으로 랜덤하다고 가정하면,  $z \sim_a \tilde{z}$ 이지만  $S^a \neq \tilde{S}^0$ 일 확률은 랜덤한  $(16-a+b)$ 비트가 같을 확률이므로  $2^{-(16-a+b)}$ 이다. 여기서  $b$ 의 기대값은  $2(=1 \cdot \frac{1}{2} + 2 \cdot \frac{1}{2^2} + 3 \cdot \frac{1}{2^3} + \dots)$ 이 되고 이 확률의 평균은  $2^{-(18-a)}$ 가 된다.

$IV$ 에 대해  $z \sim_a \tilde{z}$ 를 검사하는 것을  $D$ -Test로 정의한다. [정리 2]는 유효한  $IV$ 의 짝수 개의 비트에 보수를 취하여 다른 유효한  $IV$ 를 구할 수 있음을 보인다.

[정리 2] 유효한  $IV$ 의 짝수 개의 비트를 보수로 변경하여 유효한  $IV^* = (iw_0^*, \dots, iw_{63}^*)$ 를 생성할 수 있다. 또한, 원래의  $IV$ 가 유효하지 않으면 동일한 방법으로 변경한  $IV^*$ 도 유효하지 않다.

증명) 식 (2)에서  $l^i$ 는 다음과 같이 표현된다.

$$l^i = iw_i \oplus iw_{i+13} \oplus iw_{i+23} \oplus iw_{i+38} \oplus iw_{i+51} \oplus iw_{i+62}.$$

위의 식은  $IV$ 에 관한 선형식이기 때문에 짝수 개의 비트에 보수를 취해도 동일한 값을 가지게 된다. 이렇게 변경된 비트가 식 (1)과 식 (2)의 다른 부분에 영향을 주지 않으면 식 (1)과 식 (2)는 모두 성립한다. 그러므로 이런  $IV^*$ 은 유효하다. 그리고 동일하게  $IV$ 가 유효하지 않은 경우  $IV^*$ 도 유효하지 않다.

[표 1]은 [정리 2]가 만족하도록  $IV$ 를 변경하는 비트의 위치를 나타낸다. [따름정리 1]은 키스트림을 비교하여 유효한  $IV$ 를 쉽게 추측할 수 있을 확률을 1에 근사할 수 있음을 보인다.

[표 1]  $IV^*$  생성시  $IV$ 를 변경하는 비트의 위치

	변경하는 비트의 위치
$IV_1^*$	$iw_{15}, iw_{40}$
$IV_2^*$	$iw_{16}, iw_{41}$
$IV_3^*$	$iw_{17}, iw_{42}$
$IV_4^*$	$iw_{18}, iw_{43}$
$IV_5^*$	$iw_{15}, iw_{40}, iw_{16}, iw_{41}$
$IV_6^*$	$iw_{15}, iw_{40}, iw_{17}, iw_{42}$
$IV_7^*$	$iw_{15}, iw_{40}, iw_{18}, iw_{43}$
$IV_8^*$	$iw_{16}, iw_{41}, iw_{17}, iw_{42}$

[따름정리 1]  $IV$ 와 [정리 2]를 통해 변형한  $(c-1)$ 개의  $IV^*$ 이 모두  $D$ -Test를 통과할 때,  $IV$ 가 유효하지 않을 확률은  $2^{-c(18-a)}$ 이다.

증명)  $IV$ 가 유효하지 않은 경우 모든  $IV^*$ 가 모두 유효하지 않으므로 각각의  $IV^*$ 가  $D$ -Test를 통과하는 것은 독립이다. 그러므로  $D$ -Test를 통과하지만  $IV$ 가 유효하지 않을 확률이  $2^{-(18-a)}$ 이므로  $IV$ 와  $(c-1)$ 개의  $IV^*$ 가 모두  $D$ -Test를 통과하지만  $IV$ 가 유효하지 않을 확률은  $2^{-c(18-a)}$ 이다.

### 3.2 부울 함수 $h$ 의 분석

$h$ 는 10개의 항을 가지는 3차 5-변수 부울 함수이다. 하지만 입력값의 일부가 고정되면 [표 2]와 같은 단순한 형태로 변형된다. 본 절에서는  $h$ 함수의 취약점을 이용하여 유효한  $IV$ 가 주어지면  $a$  비트 부분키를 복구할 수 있음을 보인다.

[표 2] 입력값에 따른  $h$ 의 변형

변형된 $h$	고정되는 입력값	출력값
$h_1$	$L_{46}^i = 0, L_{64}^i = 1$	$L_3^i \oplus L_{25}^i$
$h_2$	$L_3^i = L_{25}^i, L_{46}^i = 1, L_{64}^i = 1$	$N_{63}^i \oplus 1$

[정리 3]  $2a$ -비트  $iw_{12+1}, \dots, iw_{12+a}, iw_{24+1}, \dots, iw_{24+a}$ 는 모든 값을 선택하고  $iw_{45+1}, \dots, iw_{45+a}$ 는 0으로 선택하고 이외의 비트는 모두 같은 값을 가지도록 선택한  $2^{2a}$ 개의  $IV$ 의 집합에는 유효한  $IV$ 가 정확히 1개 존재한다.

증명) Grain-v1의 초기화 과정에서  $IV$ 의 값이 LFSR에 직접 입력되고, LFSR의 마지막 16 비트는 모두 1이므로  $L_{46}^i = 0, L_{64}^i = 1 (0 \leq i < a)$ 가 되어  $h$ 는  $h_1$ 의 형태가 되므로 식 (1)과 식 (2)는 다음과 같이 변형 된다.

$$iw_i \oplus iw_{i+3} \oplus iw_{i+25} = k_i \oplus (n^i \oplus iw_i) \oplus \sum_{j \in A} k_{i+j} \quad (3)$$

$$iw_i \oplus iw_{i+13} \oplus iw_{i+23} \oplus iw_{i+38} \oplus iw_{i+51} \oplus iw_{i+62} \oplus iw_{i+3} \oplus iw_{i+25} = 1 \oplus \sum_{j \in A} k_{i+j} \quad (4)$$

식 (3)의 우변은 비밀키에 대한 식이므로 선택한  $2^{2a}$ 개의  $IV$ 에 대해 고정된 값을 가진다. 그리고  $iw_{i+3}$ 은  $2^{2a}$ 개의  $IV$ 에 대해 같은 값을 가지고  $iw_{i+25}$ 는 모든 값을 가지므로 식 (5)를 만족하는  $2^a$ 개의  $IV$ 가 식 (3)을 만족한다.

$$iw_{i+25} = iw_{i+3} \oplus k_i \oplus n^i \oplus \sum_{j \in A} k_{i+j} \quad (5)$$

식 (5)의 좌변의 값은  $2^{2a}$ 개의  $IV$  모두 고정된 값이므로 식 (5)를 만족하는  $2^a$ 개의  $IV$ 의  $iw_{i+25}$ 는 모두 같다. 그러므로 이  $2^a$ 개의  $IV$

는 모두  $iw_{i+13}$ 이 모든 값을 가지고 나머지 비트들은 같은 값을 가지므로 식 (6)을 만족하는  $IV$ 가 정확히 1개 존재한다.

$$iw_{i+13} = 1 \oplus \sum_{j \in A} k_{i+j} \oplus iw_i \oplus iw_{i+23} \oplus iw_{i+38} \oplus iw_{i+51} \oplus iw_{i+62} \oplus iw_{i+3} \oplus iw_{i+25} \quad (6)$$

$IV$ 가 식 (3)과 식 (4)를 만족하는 것과 식 (5)와 식 (6)을 만족하는 것이 동치이므로 선택한  $2^{2a}$ 개의  $IV$ 중에서 유효한  $IV$ 가 정확히 1개 존재한다.

[정리 3]에 해당하는  $2^{2a}$ 개의  $IV$ 의 집합을 선택한 후, [따름정리 1]을 이용하여 유효한  $IV$ 를 결정한다. 그리고 이  $IV$ 를 식 (4)에 대입하면 비밀키에 관한  $a$ 개의 선형식을 구성할 수 있다. [정리 4]는 [표 2]의  $h_2$ 와 유효한  $IV$ 를 이용하여  $a$ -비트 비밀키  $k_{63}, \dots, k_{62+a}$ 를 복구할 수 있음을 보인다.

[정리 4] [정리 3]에 의해 결정되는 유효한  $IV$ 에서 [표 3]에서 나타내는 비트를 변경한  $IV$ 를  $IV_t^\Delta$  ( $0 \leq t < a$ )라 표기한다.  $IV_t^\Delta$ 가 유효하면  $k_{63+t} = iw_{3+t} \oplus iw_{25+t} \oplus 1$ 이고, 그렇지 않으면  $k_{63+t} = iw_{3+t} \oplus iw_{25+t}$ 이다. [표 3]에서  $IV_t^\Delta$ 를 생성할 때,  $iw_j^c$ 는  $iw_{3+t} \neq iw_{25+t}$ 인 경우만 변경한다.

증명) 식 (3)과 식 (4)는 각각  $a$ 개의 식으로 구성되

[표 3]  $IV_t^\Delta$  생성시  $IV$ 를 변경하는 비트의 위치

	변경하는 비트 위치
$IV_0^\Delta$	$iw_{46}, iw_{69}, iw_{25}^c, iw_{15}^c$
$IV_1^\Delta$	$iw_{47}, iw_{60}, iw_{26}^c, iw_{16}^c$
$IV_2^\Delta$	$iw_{48}, iw_{61}, iw_{27}^c, iw_{17}^c$
$IV_3^\Delta$	$iw_{49}, iw_{62}, iw_{38}, iw_{28}^c, iw_{18}^c$
$IV_4^\Delta$	$iw_{50}, iw_{29}^c, iw_{19}^c$
$IV_5^\Delta$	$iw_{51}, iw_{38}, iw_{30}^c, iw_{20}^c$
$IV_6^\Delta$	$iw_{52}, iw_{39}, iw_{31}^c, iw_{21}^c$
$IV_7^\Delta$	$iw_{53}, iw_{40}, iw_{32}^c, iw_{22}^c$
$IV_8^\Delta$	$iw_{54}, iw_{41}, iw_{33}^c, iw_{37}, iw_{61}^c$
$IV_9^\Delta$	$iw_{55}, iw_{42}, iw_{34}^c, iw_{38}, iw_{62}^c$
$IV_{10}^\Delta$	$iw_{56}, iw_{43}, iw_{35}^c$
$IV_{11}^\Delta$	$iw_{57}, iw_{44}, iw_{36}^c$

어 있다.  $i=t$ 일 때의 식을 각각 식 (3)- $t$ 와 식 (4)- $t$ 라 할 때,  $IV$ 의  $w_{46+t}$ 에 보수를 취하고  $w_{3+t} \neq w_{25+t}$ 인 경우에  $w_{25+t}$ 에 보수를 취하면  $L_3^t = L_{25}^t, L_{46}^t = 1, L_{64}^t = 1$ 이 되어 식 (3)- $t$ 와 식 (4)- $t$ 에서  $h$ 는  $h_2$ 의 형태로 변형되어 식 (3)- $t$ 와 식 (4)- $t$ 는 다음과 같이 변형된다.

$$w_t \oplus (k_{t+63} \oplus 1) = k_t \oplus (n^t \oplus w_t) \oplus \sum_{j \in A} k_{t+j}.$$

$$w_t \oplus w_{t+13} \oplus w_{t+23} \oplus w_{t+38} \oplus w_{t+51} \oplus w_{t+62} \oplus (k_{t+63} \oplus 1) = 1 \oplus \sum_{j \in A} k_{t+j}.$$

이 때, 보수를 취한  $w_{46+t}$ 와  $w_{25+t}$ 가 식 (3)- $t$ 와 식 (4)- $t$ 를 제외한 다른 (2a-2)개의 식의 좌변의 값을 바꾸는 경우, 같은 식에 위치하는  $IV$ 의 비트에 보수를 취하여 좌변의 값이 동일한 값을 가지도록 변경할 수 있다. 그리고 이 때 변경된 비트가 또 다른 식에 영향을 주는 경우, 다시 같은 식에 위치하는  $IV$ 의 비트에 보수를 취하여 좌변의 값이 동일하도록 변경하는 작업을 반복하여 식 (3)- $t$ 와 식 (4)- $t$ 를 제외한 (2a-2)개의 식의 좌변의 값은 동일해지도록  $IV_i^\Delta$ 를 생성할 수 있다. [표 3]의 변경하는 비트들은 이를 만족한다. 그러므로  $IV$ 가 유효하면  $IV_i^\Delta$ 는 식 (3)- $t$ 와 식 (4)- $t$ 를 제외한 (2a-2)개의 식을 반드시 만족하고, 식 (3)- $t$ 와 식 (4)- $t$ 는  $k_{63+t}$ 의 값에 따라 만족하는지가 결정된다. 다시 말해서  $IV_i^\Delta$ 가 유효하면 식 (3)- $t$ 와 식 (4)- $t$ 를 만족하므로  $k_{63+t} = w_{3+t} \oplus w_{25+t} \oplus 1$ 이고,  $IV_i^\Delta$ 가 유효하지 않으면 식 (3)- $t$ 와 식 (4)- $t$ 가 만족하지 않으므로  $k_{63+t} = w_{3+t} \oplus w_{25+t}$ 이다.

### 3.3 키 복구 공격 알고리즘

본 절에서는  $a=12$ 일 때의 공격 알고리즘을 소개한다.  $a$ 가 12미만인 경우에도 유사한 방법으로 공격이 가능하다. 본 공격 알고리즘은  $IV$ 의 유효성을 검사하는  $IsValidIV$  알고리즘과 유효한  $IV$ 를 이용하여  $a$ -비트 부

분키를 복구하는 키 결정 알고리즘으로 구성된다.  $IsValidIV$  알고리즘은 [표 4]와 같다.  $a=12$ 이므로 1개의 유효한  $IV$ 만을 결정하기 위해서  $2^{24-c \times (18-12)} \ll 1$ 이 되도록 하는  $c=5$ 를 사용한다.

[표 4]  $IsValidIV$  검사 알고리즘 ( $a=12, c=5$ )

1. 입력된  $IV$ 가  $D-Test$ 를 통과하면 다음을 수행 하고 그렇지 않으면 유효하지 않은  $IV$ 임을 반환.
2.  $i=1$ 로 설정하고  $i < 5 (=c)$ 이면 다음을 수행.
  - 2-1.  $IV_i^*$ 를 생성하여  $D-Test$ 를 통과하지 않으면 유효하지 않은  $IV$ 임을 반환 ([표 1] 참조).
  - 2-2.  $i$ 에 1을 더한다.
3. 유효한  $IV$ 임을 반환한다.

유효한  $IV$ 를 입력받아  $k_{63}, \dots, k_{74}$ 를 복구하는 키 결정 알고리즘은 [표 5]와 같다.

[표 5] 키 결정 알고리즘 ( $a=12, c=5$ )

1.  $i=0$ 으로 설정한다.
2.  $i < 12$ 이면 다음을 수행한다.
  - 2-1.  $IV_i^\Delta$ 를 생성한다 ([표 3] 참조).
  - 2-2.  $IsValidIV$ 를 이용하여  $IV_i^\Delta$ 가 유효한지 검사.
  - 2-3.  $IV_i^\Delta$ 가 유효하면  $k_{63+i} = w_{3+i} \oplus w_{25+i} \oplus 1$ 로 결정하고, 유효하지 않으면  $k_{63+i} = w_{3+i} \oplus w_{25+i}$ 로 결정한다.
  - 2-4.  $i$ 에 1을 더한다.

본 논문에서 제안하는 키 복구 공격 알고리즘은 [표 6]과 같다.

[표 6] 키 복구 공격 알고리즘

1. 공격자는  $w_{13} \sim w_{36}$ 의 모든 값을 선택하고 나머지 비트는 0으로 고정된  $2^{24}$ 개의  $IV$ 를 선택한다.
2.  $IsValidIV$  알고리즘을 이용하여 유효한  $IV$ 를 추측한다.
3. 단계 2에서 추측한 유효한  $IV$ 를 키 결정 알고리즘을 입력하여  $k_{63} \sim k_{74}$ 를 복구한다.
4. 식 (4)에 단계 2에서 추측한  $IV$ 를 대입하여 12개의 비밀키에 관한 선형식을 구성한다.
5. 단계 3에서 복구한 비밀키와 단계 4에서 구성한 선형식을 이용하여 비밀키를 전수조사 한다.

본 공격에는  $2^{\left(\sum_{i=0}^{c-1} 2^{2a-i(18-a)}\right) + ac}$ 개의  $IV$ 가 필요하다.

[표 7] a와 c에 따른 공격 복잡도

a	c	성공 확률	계산 복잡도	필요한 IV 개수
1	1	99.99%	$2^{78}$	$2^{3.17}$
	2	99.99%	$2^{78}$	$2^{3.32}$
4	1	99.99%	$2^{72}$	$2^{9.01}$
	2	99.99%	$2^{72}$	$2^{9.02}$
8	2	99.99%	$2^{64}$	$2^{17.00}$
	3	99.99%	$2^{64}$	$2^{17.00}$
12	5	99.99%	$2^{56}$	$2^{25.02}$
	7	99.99%	$2^{56}$	$2^{25.02}$

[표 8] 구현 결과

a	c	공격 시간(초)	성공 확률 (성공 회수/시도 회수)
1	2	$\ll 1$	99.99%(100/100)
8	3	23.24	99.99%(100/100)
12	7	47.72	99.99%(100/100)

다. 계산 복잡도는 [표 6]의 단계 5의 계산 복잡도와 같다. 그러므로  $a=12$ 인 경우  $2^{25.02}$ 개의 IV를 이용하여  $2^{56}$ 의 계산 복잡도로 비밀키를 복구한다.  $2^{28}$ 개의 IV 중에서 유효한 IV는 1개만 존재한다. 하지만 유효하지 않은 IV가 단계 2를 통과할 확률이 평균  $2^{-c \times (18-a)}$ 이므로 유효하지 않은 IV들이 단계 2에서 모두 걸러질 확률은  $(1 - 2^{-c \times (18-a)})^{2^{28} - 1}$ 이 된다. c의 값을 조절하면 이 확률을 1에 근사할 수 있다.  $a=12, c=5$ 이면 성공 확률은 98.45%이다. 하지만 c의 값을 증가시켜도 공격에 필요한 IV의 수는 거의 변화가 없기 때문에  $c=7$ 로 설정한 경우, 성공확률은 99.99%이다. a와 c에 따른 공격 복잡도는 [표 7]과 같다. [표 8]은 공격 알고리즘의 단계 4까지를 구현한 결과이다. 복구한 부분키와 비밀키에 대한 선형식이 정확한 결과인지 실험하였다. 본 구현은 Pentium-4, 2.4G CPU, Windows XP Pro Sp 2에서 실행되었고,  $a=12, c=7$ 인 경우 평균 50초 이내에 선형식을 구성하고 비밀키를 복구하였다.

#### IV. 결 론

본 논문에서는 eSTREAM에 제안된 스트림 암호 Grain-v1에 대한 연관키 선택 IV 공격을 제안하였다. 본 공격은 Grain-v1 최초의 키 복구 공격으로 다음과

같은 취약점을 이용하여 2개의 연관키와  $2^{25.02}$ 개의 IV를 이용하여  $2^{56}$ 의 시간 복잡도로 비밀키를 복구할 수 있다.

- ① a-비트 좌측 순환 이동된 연관키  $K$ 와  $\bar{K}$ 에 대해,  $S^a = \bar{S}^0$ 를 만족하는 IV와  $\bar{IV}$ 가 존재한다.
- ②  $S^a = \bar{S}^0$ 를 만족하면 D-Test를 통과한다.
- ③ 초기화 과정에서 IV의 일정 비트를 고정하면 h의 입력값이 고정되어 취약한 형태의 부울 함수가 된다.

첫 번째 취약점은 Grain-v1의 설계의 근본적인 문제점으로 쉽게 고칠 수 없어 보인다. 두 번째 취약점의 경우, 키스트림 생성 과정에서 사용되는 비트의 위치를 수정하는 방법으로 해결이 가능하다. 마지막으로 세 번째 취약점은 h 자체를 다른 함수로 변경하거나 입력되는 위치를 NFSR에 더 많은 비중을 주는 방법으로 해결할 수 있다. 위 취약점들은 Grain-128에도 유사하게 적용된다. 그러므로 Grain-128에 대한 키 복구 공격 역시 가능할 것으로 예상된다.

초기화 과정과 키스트림 생성 과정이 유사한 구조를 가지는 스트림 암호를 설계하는 경우, 이러한 공격 방법에 대한 안전성을 고려해야 할 것이다.

#### 참고문헌

- [1] C. Berbain, H. Gilbert and A. Maximov, "Cryptanalysis of Grain", FSE 2006, LNCS 4047, pp.15-29, SpringerVerlag, 2006.
- [2] M. Hell, T. Johansson and W. Meier, "Grain - A Stream Cipher for Constrained Environments," ECRYPT Stream Cipher Project Report 2005/010, 2005. Available at <http://www.ecrypt.eu.org/stream/ciphers/grain/grain.pdf>
- [3] M. Hell, T. Johansson and W. Meier, "Grain - A Stream Cipher for Constrained Environments", 2007. Available at [http://www.ecrypt.eu.org/stream/p3ciphers/grain/Grain\\_p3.pdf](http://www.ecrypt.eu.org/stream/p3ciphers/grain/Grain_p3.pdf)
- [4] S. Khazaei, M. Hassanzadeh and M. Kiaei, "Distinguishing Attack on Grain", ECRYPT Stream Cipher Project Report 2005/71, 2005.

Available at

<http://www.ecrypt.eu.org/stream/papersdir/071.pdf>

- [5] Ö. Küçük, "Slide Resynchronization Attack on the Initialization of Grain 1.0", ECRYPT

Stream Cipher Project Report 2006/44, 2006.

Available at

<http://www.ecrypt.eu.org/stream/papersdir/2006/044.ps>

### 〈著者紹介〉



#### 이 유 섭 (Yuseop Lee) 학생회원

2007년 2월 : 서울시립대학교 수학과 학사

2007년 3월~현재 : 고려대학교 정보경영공학전문대학원 석박사 통합과정  
<관심분야> 스트림 암호 및 해쉬 함수의 분석 및 설계



#### 정 기 태 (Kitae Jeong) 학생회원

2004년 2월 : 고려대학교 수학과 학사

2006년 2월 : 고려대학교 정보보호대학원 석사

2006년 3월~현재 : 고려대학교 정보경영공학전문대학원 박사과정  
<관심분야> 블록 암호, 스트림 암호 및 해쉬 함수의 분석 및 설계



#### 성 재 철 (Jaechul Sung) 종신회원

1997년 8월 : 고려대학교 수학과 학사

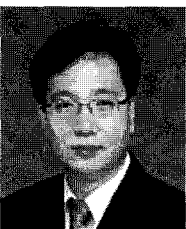
1999년 8월 : 고려대학교 수학과 석사

2002년 8월 : 고려대학교 수학과 박사

2002년 8월~2004년 1월 : 한국정보보호진흥원 선임연구원

2004년 2월~현재 : 서울시립대학교 수학과 조교수

<관심분야> 암호 알고리즘 설계 및 분석



#### 홍 석 희 (Seokhie Hong) 종신회원

1995년 2월 : 고려대학교 수학과 학사

1997년 2월 : 고려대학교 수학과 석사

2001년 2월 : 고려대학교 수학과 박사

1999년 8월~2004년 2월 : (주) 시큐리티 테크놀로지스 선임연구원

2004년 4월~2005년 2월 : K.U.Leuven 박사후연구원

2005년 3월~현재 : 고려대학교 정보경영공학전문대학원 조교수

<관심분야> 암호 알고리즘 설계 및 분석, 컴퓨터 포렌식